
Oscillateur conservatif linéaire à un degré de liberté

Table of Contents

0	1
1.1	2
1.2	3
2.1	3
2.2	4
2.3	5
2.4	6
2.5	7
3.1	8
3.2	9
3.3	9
3.4	11
3.5	11
4.1	12
4.2	12
4.3	13
4.4	14
5.1.1	15
5.1.2	16
5.1.3	17
5.1.4	18
5.2.1	19
5.2.2	20
5.2.3	21
5.2.4	24

0

```
%Retrouver l'équation du mouvement du pendule simple avec les
équations de Lagrange
A = imread('IMG_0324.jpg');
imshow(A);
```

On sait que l'équation de Lagrange

$$L = E_C - E_P \quad \frac{d}{dt} \left[\frac{\partial L}{\partial \dot{x}_i} \right] - \frac{\partial L}{\partial x_i} = Q_i \quad \text{avec } \frac{\partial E_P}{\partial x_i} = 0$$

Et pour pendule simple, on a

$$\begin{cases} E_C = \frac{I}{2} \dot{\theta}^2 \\ E_P = -mgL \cos \theta + \text{cte.} \\ \delta W = 0. \end{cases}$$

Donc $L = E_C - E_P = \frac{I}{2} \dot{\theta}^2 + mgL \cos \theta + \text{cte}$

$$\delta W = \sum_{i=1}^N Q_i \delta q_i = 0 \Rightarrow Q_i = 0$$

selon l'équation de Lagrange, $\frac{d}{dt} \left[\frac{\partial L}{\partial \dot{\theta}} \right] - \frac{\partial L}{\partial \theta} = Q$.

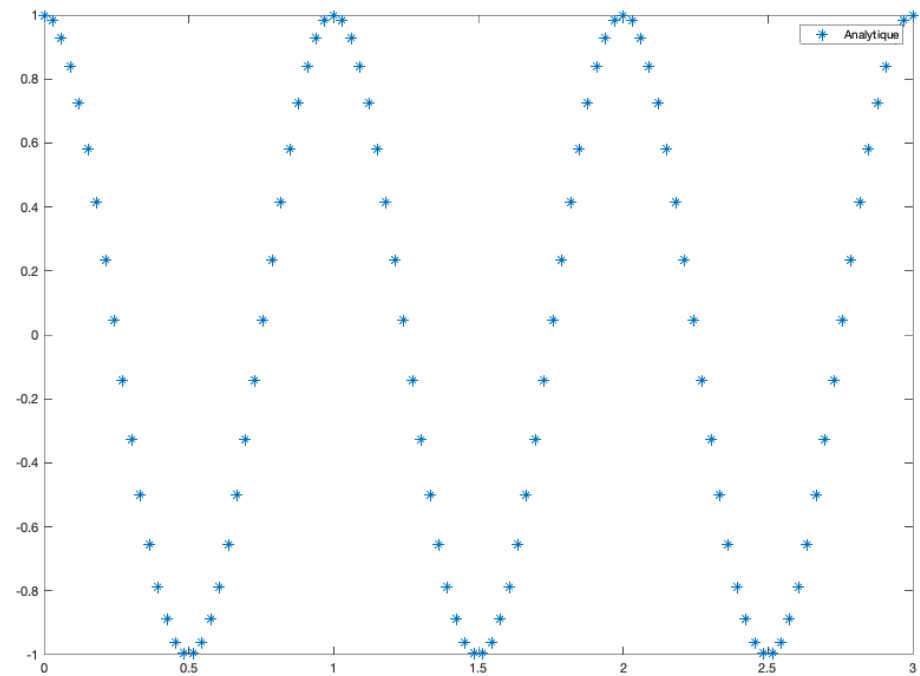
On a l'équation du mouvement du pendule simple

$$\Rightarrow I \ddot{\theta} + mgL \sin \theta = 0$$

1.1

```
clear all
clf;
W0=2*pi;
syms q t ;
b='D2q==-(2*pi)^2*q';
q = simplify(dsolve(b,'q(0)=1','Dq(0)=0'));
% on trouve q =cos(2*pi*t)
T0 = 3;
t = linspace(0,T0,100);
q= cos(2*pi*t); %on a deja trouver
plot(t,q,'*')
legend('Analytique');

##: Support of character vectors and strings will be removed in a
future
release. Use sym objects to define differential equations instead.
```



1.2

```
%dq = simplify(diff(q,t));
%E =1/2*(dq^2+(2*pi)^2*q^2);
%E = simplify(E);
E = 2*pi^2;
% E est une constante
```

2.1

```
B = imread('IMG_0325.jpg');
imshow(B);
```

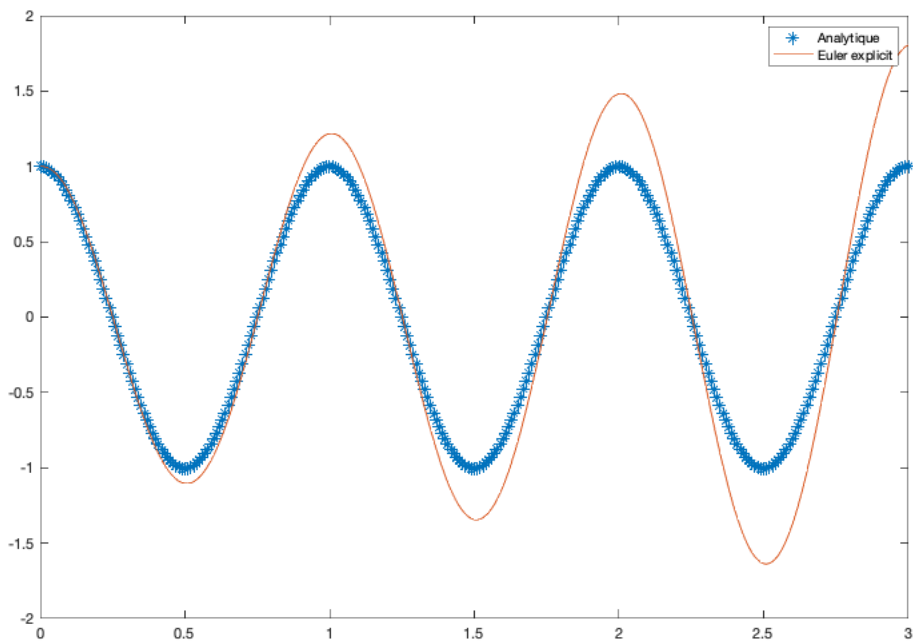
$$\begin{aligned}
 \text{On a } & \left\{ \begin{array}{l} q_{j+1} = q_j + dt \\ \dot{q}_{j+1} = -\omega^2 q_j \end{array} \right. \\
 & \left| \begin{array}{l} q_{j+1} = q_j + dt \\ \dot{q}_{j+1} = -\omega^2 q_j \end{array} \right. \\
 & \left| \begin{array}{l} q_{j+1} = q_j + dt \\ \dot{q}_{j+1} = -\omega^2 q_j \end{array} \right. = \left| \begin{array}{l} q_j + dt \\ \dot{q}_j - \omega^2 dt \end{array} \right. \\
 \text{Donc } & \left| \begin{array}{l} q_{j+1} \\ \dot{q}_{j+1} \end{array} \right. = \begin{bmatrix} 1 & dt \\ -\omega^2 dt & 1 \end{bmatrix} \left| \begin{array}{l} q_j \\ \dot{q}_j \end{array} \right.
 \end{aligned}$$

2.2

```

clf;
dt=0.01;
t=0:dt:T0;
q0=1;
dq0=0;
A=[1,dt; -w0^2*dt,1];
U(:,1)=[q0;dq0];
for j=1:(length(t)-1)
    U(:,j+1)= A*U(:,j);
end
q = cos(w0*t);
plot(t,q,'*',t,U(1,:));
legend('Analytique','Euler explicit');

```



2.3

```

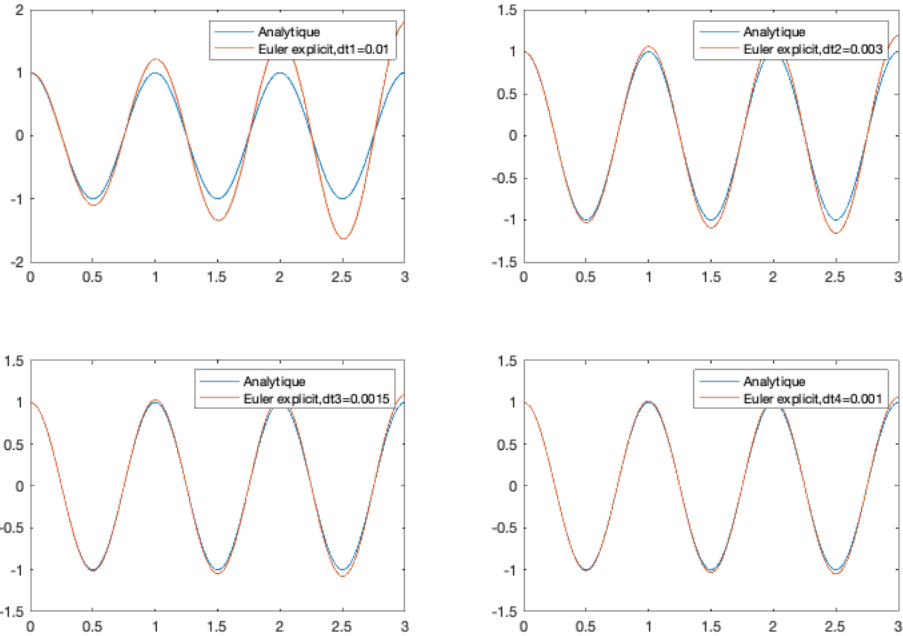
clf;
dt1=0.01;
dt2=0.003;
dt3=0.0015;
dt4=0.001;
t1=0:dt1:T0;
t2=0:dt2:T0;
t3=0:dt3:T0;
t4=0:dt4:T0;
q0=1;
dq0=0;
A1=[1,dt1; -W0^2*dt1,1];
U1(:,1)=[q0;dq0];
for j=1:(length(t1)-1)
    U1(:,j+1)= A1*U1(:,j);
end
q1 = cos(W0*t1);
A2=[1,dt2; -W0^2*dt2,1];
U2(:,1)=[q0;dq0];
for j=1:(length(t2)-1)
    U2(:,j+1)= A2*U2(:,j);
end
q2 = cos(W0*t2);
A3=[1,dt3; -W0^2*dt3,1];
U3(:,1)=[q0;dq0];
for j=1:(length(t3)-1)
    U3(:,j+1)= A3*U3(:,j);

```

```

end
q3 = cos(w0*t3);
A4=[1,dt4; -w0^2*dt4,1];
U4(:,1)=[q0;dq0];
for j=1:(length(t4)-1)
    U4(:,j+1)= A4*U4(:,j);
end
q4 = cos(w0*t4);
subplot(2,2,1)
plot(t1,q1,t1,U1(1,:))
legend('Analytique','Euler explicit,dt1=0.01')
subplot(2,2,2)
plot(t2,q2,t2,U2(1,:))
legend('Analytique','Euler explicit,dt2=0.003')
subplot(2,2,3)
plot(t3,q3,t3,U3(1,:))
legend('Analytique','Euler explicit,dt3=0.0015')
subplot(2,2,4)
plot(t4,q4,t4,U4(1,:))
legend('Analytique','Euler explicit,dt4=0.001')
%On peut voir que plus le pas de temps ?t est petit, plus la
divergence est lent

```



2.4

```

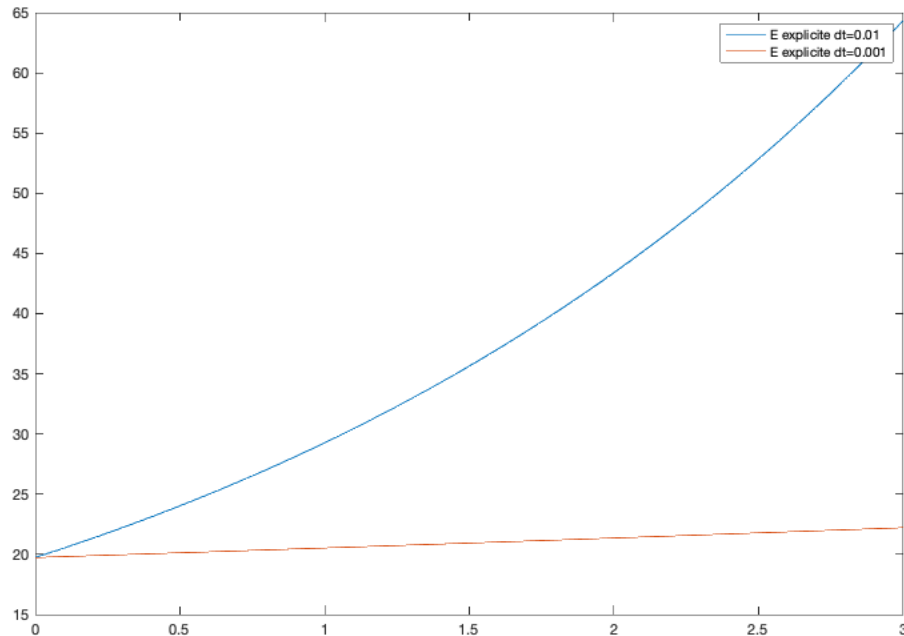
clf
for j=1:length(t)
    E1(j)=1/2*(U(2,j)*U(2,j)+4*pi*pi*U(1,j)*U(1,j));
end

```

```

for j=1:length(t4)
    E4(j)=1/2*(U4(2,j)*U4(2,j)+4*pi*pi*U4(1,j)*U4(1,j));
end
plot(t,E1,t4,E4)
legend('E explicite dt=0.01','E explicite dt=0.001')
%On peut voir que E explicite est plus grande que celle calculée à
%partir de la solution exacte. Et elle n'est pas une constante
%E augmente moins vite si dt est plus petit et devient plus près avec E
exacte.

```



2.5

```

val1=eig(A1)
val2=eig(A2)
val3=eig(A3)
val4=eig(A4)
% On voit que le schéma d'Euler explicite est toujours instable
% les valeurs absolues des valeurs propres sont plus grandes si dt est
plus grandes

```

```

val1 =
1.0000 + 0.0628i
1.0000 - 0.0628i

```

```

val2 =

```

```
1.0000 + 0.0188i
1.0000 - 0.0188i
```

```
val3 =
```

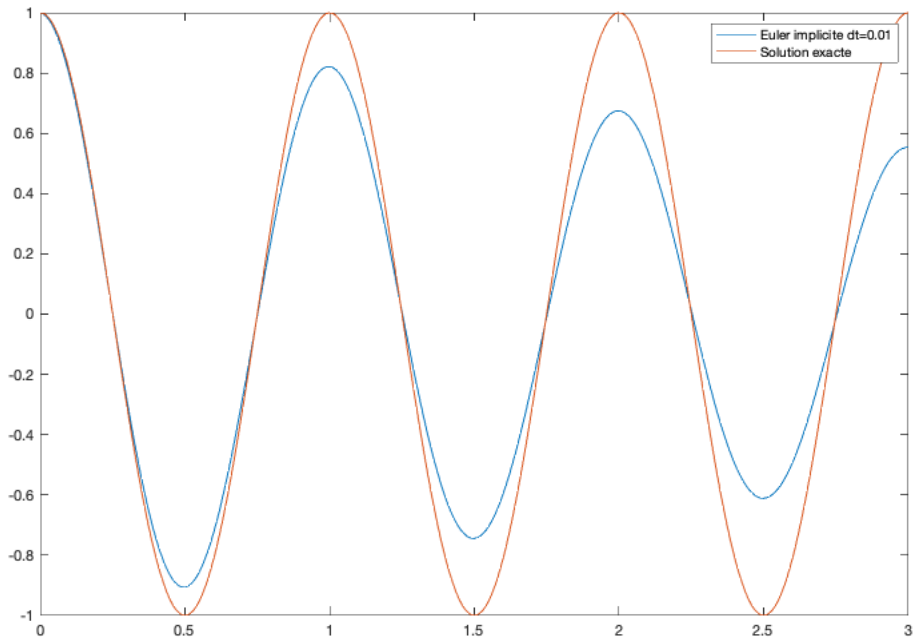
```
1.0000 + 0.0094i
1.0000 - 0.0094i
```

```
val4 =
```

```
1.0000 + 0.0063i
1.0000 - 0.0063i
```

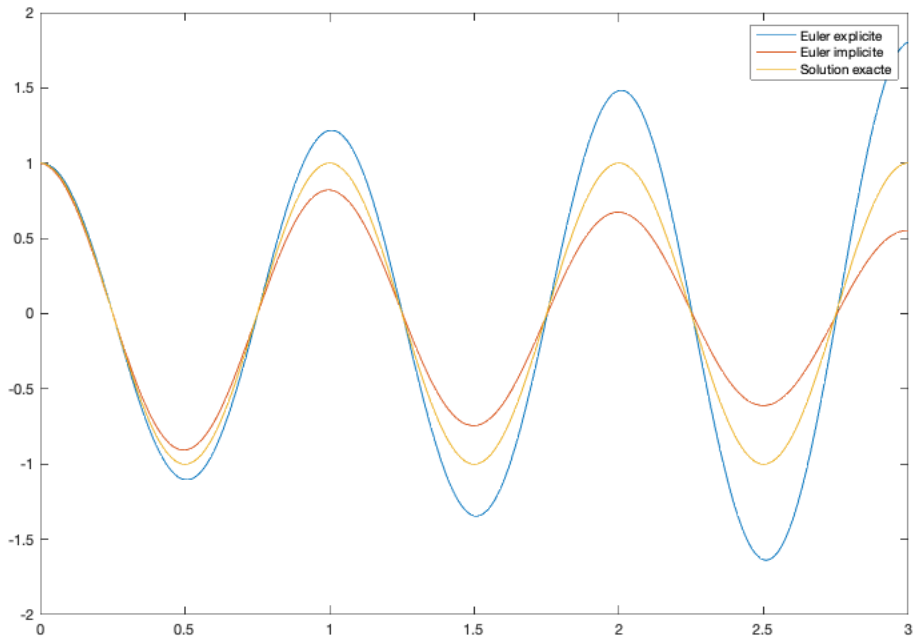
3.1

```
dt=0.01;
t=0:dt:T0;
B=[1,-dt; w0^2*dt,1];
B=inv(B);
Uim(:,1)=[q0;dq0];
for j=1:(length(t)-1)
    Uim(:,j+1)= B*Uim(:,j);
end
plot(t,Uim(1,:),t,q)
hold on;
legend('Euler implicite dt=0.01','Solution exacte')
```



3.2

```
clf;
plot(t,U(1,:),t,Uim(1,:),t,q)
legend('Euler explicite','Euler implicite','Solution exacte')
```



3.3

```
clf;
plot(t,Uim(1,:))
hold on;

n1=1000;
dtim1=T0/n1;
tim1=0:dtim1:T0;
Uim1(:,1)=[q0;dq0];
B1=[1,-dtim1; W0^2*dtim1,1];
B1=inv(B1);
for j=1:(length(tim1)-1)
    Uim1(:,j+1)= B1*Uim1(:,j);
end
plot(tim1,Uim1(1,:))

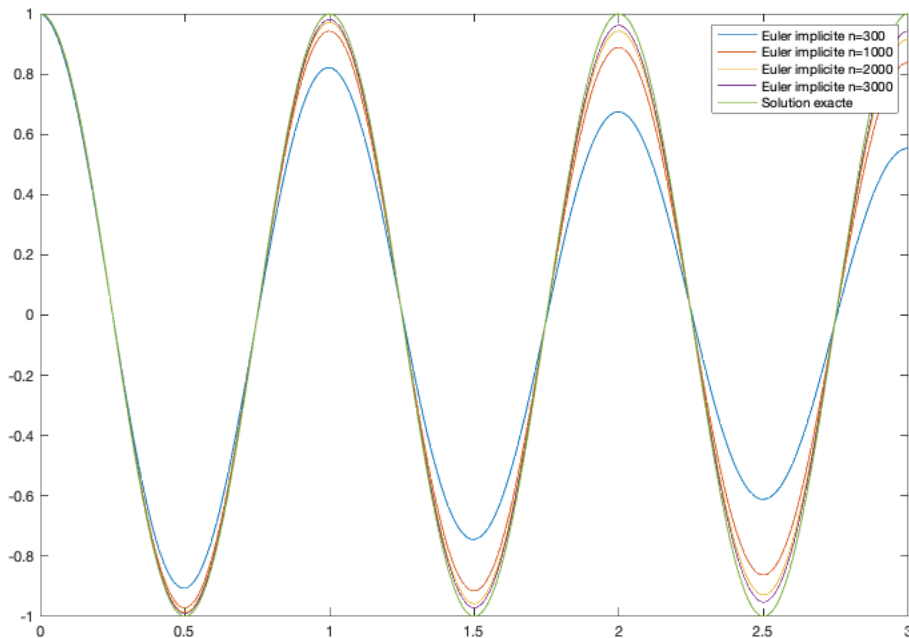
hold on;
n2=2000;
dtim2=T0/n2;
tim2=0:dtim2:T0;
Uim2(:,1)=[q0;dq0];
```

```

B2=[1,-dtim2; W0^2*dtim2,1];
B2=inv(B2);
for j=1:(length(tim2)-1)
    Uim2(:,j+1)= B2*Uim2(:,j);
end
plot(tim2,Uim2(1,:))
hold on;

n3=3000;
dtim3=T0/n3;
tim3=0:dtim3:T0;
Uim3(:,1)=[q0;dq0];
B3=[1,-dtim3; W0^2*dtim3,1];
B3=inv(B3);
for j=1:(length(tim3)-1)
    Uim3(:,j+1)= B3*Uim3(:,j);
end
plot(tim3,Uim3(1,:))
hold on;
plot(t,q)
legend('Euler implicite n=300','Euler implicite n=1000','Euler
implicite n=2000','Euler implicite n=3000','Solution exacte')
%En testant différents pas de temps, on peut voir que un amortissement
numérique
%On pourra remarquer cependant que plus le pas de temps ?t est petit,
plus l'atténuation des oscillations est faible.

```

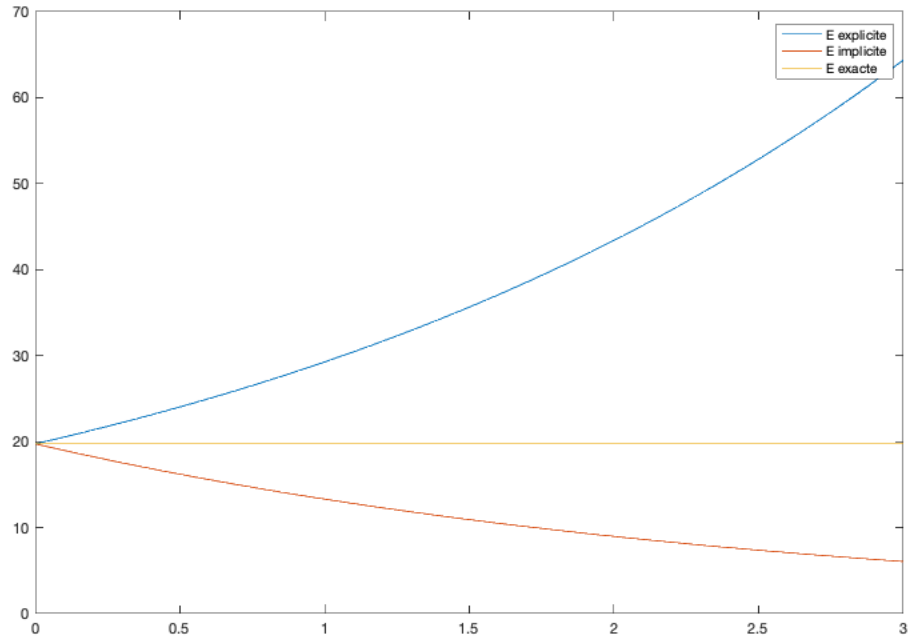


3.4

```

clf;
for j=1:length(t)
    Eimp(j)=1/2*(Uim(2,j)*Uim(2,j)+4*pi*pi*Uim(1,j)*Uim(1,j));
end
plot(t,E1)
hold on;
plot(t,Eimp)
hold on;
Exa(1:length(t))=E;
plot(t,Exa)
legend('E explicite','E implicite','E exacte')

```



3.5

```

valim=eig(B)
valim1=eig(B1)
valim2=eig(B2)
valim3=eig(B3)
%Quand dt est plus de 0.0015 On voit que le schema d'Euler implicite
%est toujours stable
%mais quand dt est moins de 0.001, le schema d'Euler implicite est
%toujours instable

```

valim =

```
0.9961 + 0.0626i
0.9961 - 0.0626i
```

```
valim1 =

0.9996 + 0.0188i
0.9996 - 0.0188i
```

```
valim2 =

0.9999 + 0.0094i
0.9999 - 0.0094i
```

```
valim3 =

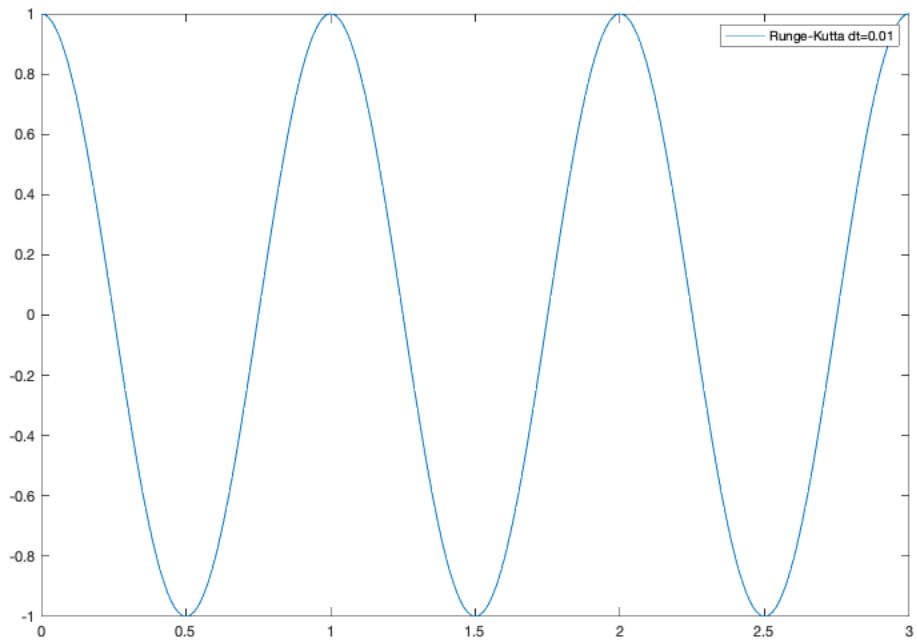
1.0000 + 0.0063i
1.0000 - 0.0063i
```

4.1

```
%x=q dx=dq
%X=[x;dx]
%M = [0 , 1; -W0^2, 0]
%dX = M * X;
%Afin d'obtenir une formulation adaptée aux schémas du premier ordre.
```

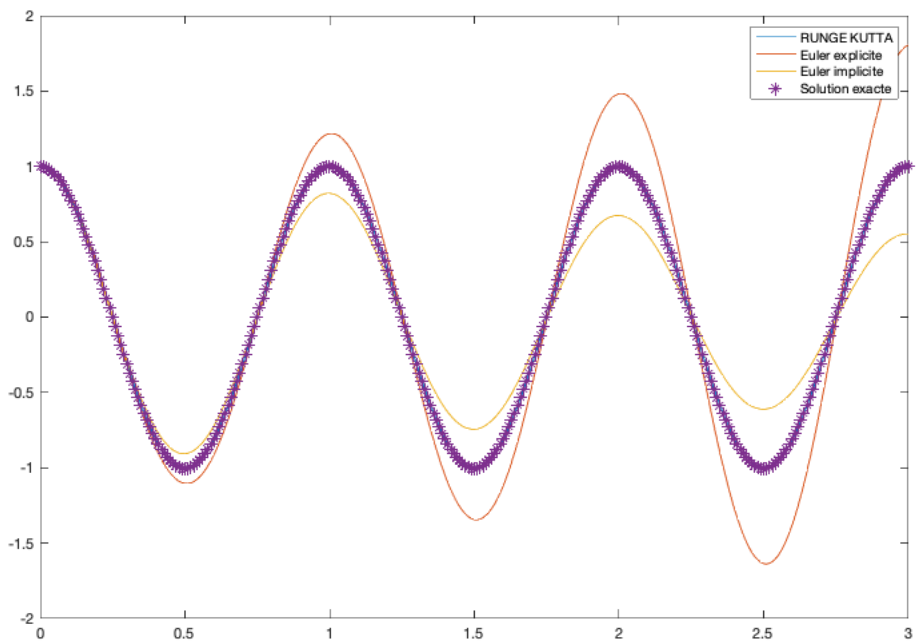
4.2

```
clf;
dt = 0.01;
t=0:dt:T0;
C=[0,1; -W0^2,0];
Urk(:,1)=[q0;dq0];
for j=1:(length(t)-1)
    k1=C*Urk(:,j);
    k2=C*(Urk(:,j)+1/2*k1*dt);
    k3=C*(Urk(:,j)+1/2*k2*dt);
    k4=C*(Urk(:,j)+k3*dt);
    Urk(:,j+1)= Urk(:,j)+1/6*dt*(k1+2*k2+2*k3+k4);
end
plot(t,Urk(1,:));
legend('Runge-Kutta dt=0.01')
```



4.3

```
clf;
plot(t,Urk(1,:))
hold on;
plot(t,U(1,:))
hold on;
plot(t,Uim(1,:))
hold on;
plot(t,q,'*')
legend('RUNGE KUTTA','Euler explicite','Euler implicite','Solution
exacte')
%on peut voir que Runge Kutta est plus pres du solution exacte
```

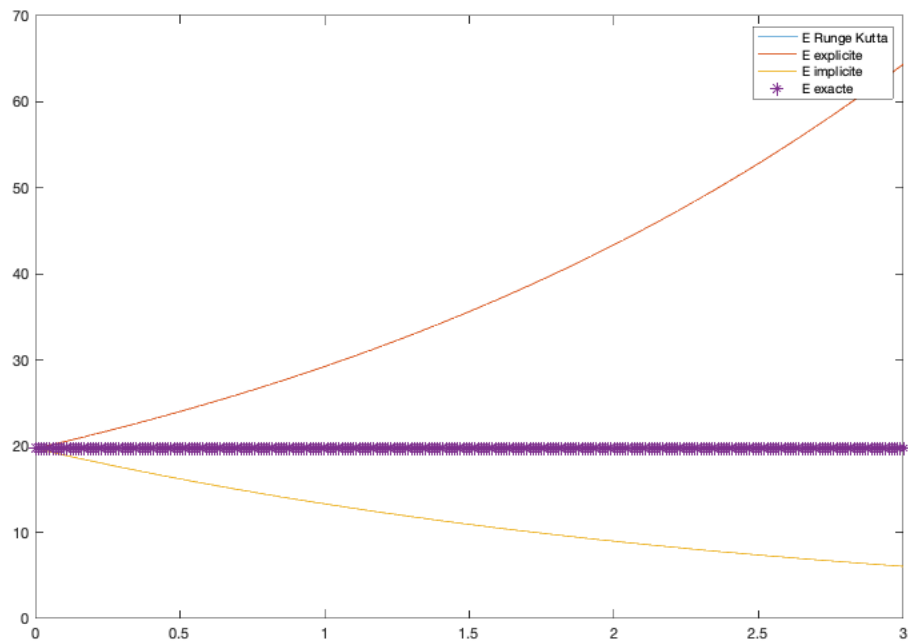


4.4

```

clf;
for j=1:length(t)
    Erk(j)=1/2*(Urk(2,j)*Urk(2,j)+4*pi*pi*Urk(1,j)*Urk(1,j));
end
plot(t,Erk)
hold on;
plot(t,E1)
hold on;
plot(t,Eimp)
hold on;
plot(t,Eexa,'*')
legend('E Runge Kutta','E explicite','E implicite','E exacte')
%on peut voir E de Runge Kutta est plus pres du solution exacte

```

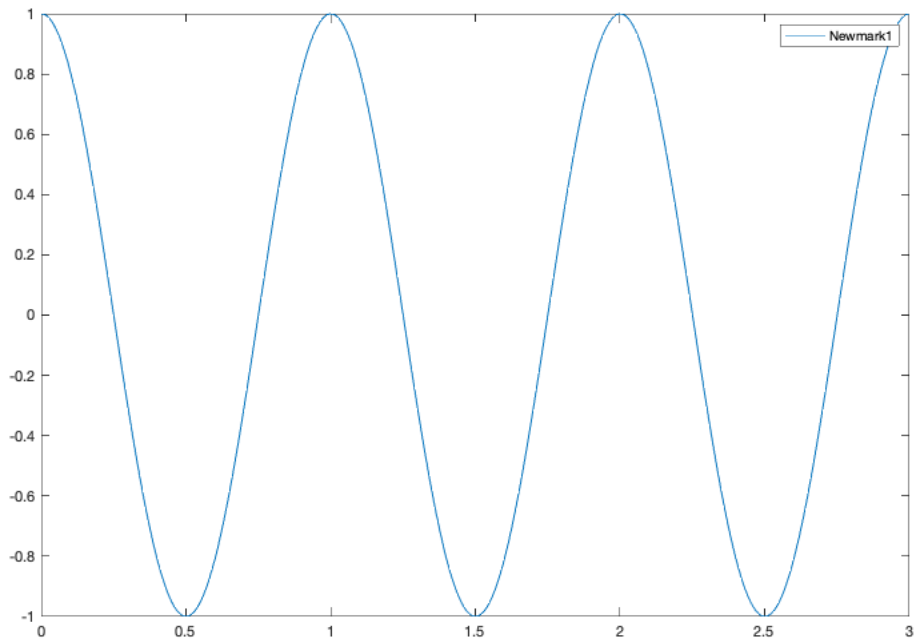


5.1.1

```

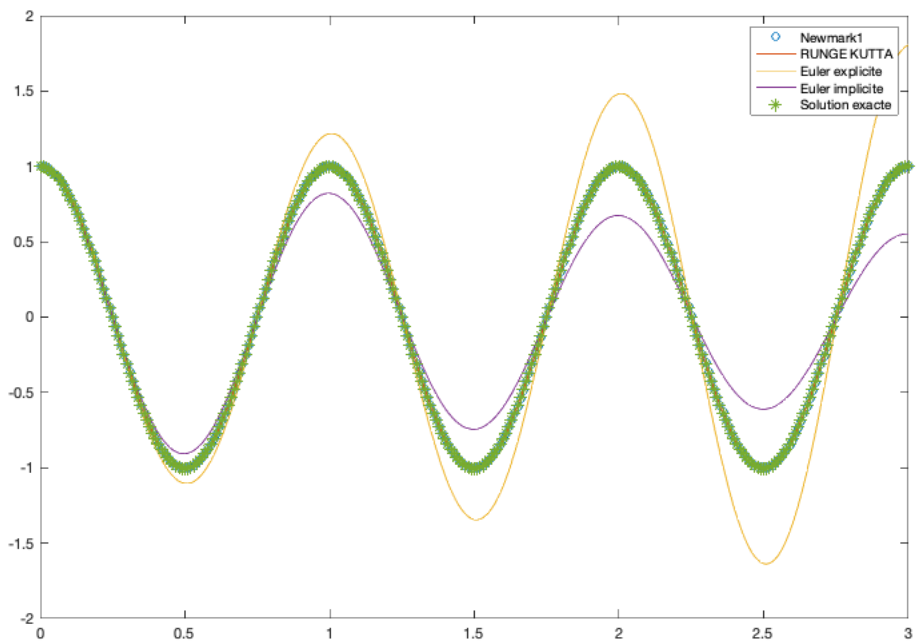
clf;
w0 = 2*pi;
n=300;dt=T0/n;
t=0:dt:T0;
gamal=0.5;beta1=0.25;
Bnewml=[1+beta1*dt*dt*w0*w0,0;gamal*dt*w0*w0,1];
Cnewml=[1-(0.5-beta1)*dt*dt*w0*w0,dt; -(1-gamal)*dt*w0*w0,1];
Anewml=inv(Bnewml)*Cnewml; % La matrice d'amplification
Unewml(:,1)=[q0;dq0];
for j=1:(length(t)-1)
    Unewml(:,j+1)=Anewml*Unewml(:,j);
end
plot(t,Unewml(1,:))
legend('Newmark1')

```



5.1.2

```
clf;
plot(t,Unewml(1,:),'o')
hold on;
plot(t,Urk(1,:))
hold on;
plot(t,U(1,:))
hold on;
plot(t,Uim(1,:))
hold on;
plot(t,q,'*')
legend('Newmark1','RUNGE KUTTA','Euler explicite','Euler
implicite','Solution exacte')
```

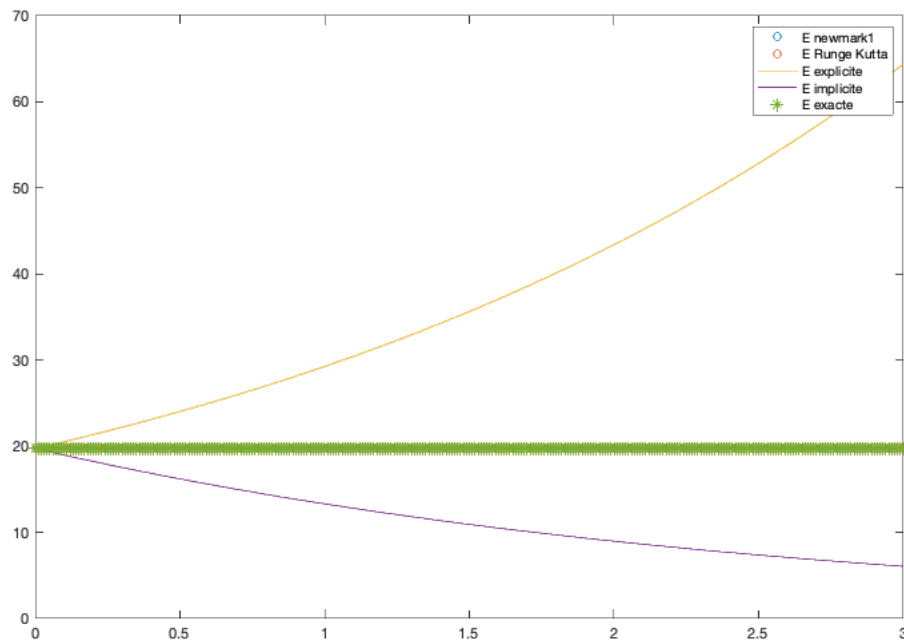


5.1.3

```

for j=1:length(t)
    Enewm1(j)=1/2*(Unewm1(2,j)*Unewm1(2,j)+4*pi*pi*Unewm1(1,j)*Unewm1(1,j));
end
clf;
plot(t,Enewm1,'o')
hold on;
plot(t,Erk,'o')
hold on;
plot(t,E1)
hold on;
plot(t,Eimp)
hold on;
plot(t,Eexa,'*')
legend('E newmark1','E Runge Kutta','E explicite','E implicite','E exacte')
%le schema de NEWMARK gama=0.5 beta=0.25 et le schema de RUNGE KUTTA
%ces deux converge vers la solution exacte

```



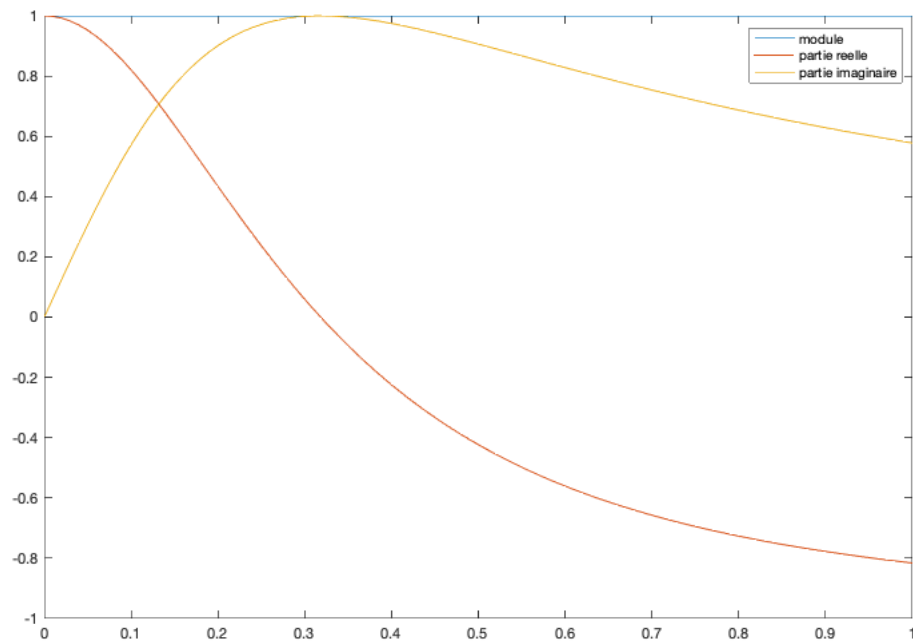
5.1.4

```

clf;
dt514=0:0.01:1;
for j=1:length(dt514)

    Bnewm514{1,j}=[1+beta1*dt514(j)*dt514(j)*w0*w0,0;gama1*dt514(j)*w0*w0,1];
    Cnewm514{1,j}=[1-(0.5-beta1)*dt514(j)*dt514(j)*w0*w0,dt514(j); -
    (1-gama1)*dt514(j)*w0*w0,1];
    Anewm514{1,j}=inv(Bnewm514{1,j})*Cnewm514{1,j};
    VPA514(:,j)=eig(Anewm514{1,j});
    moduleVP(j)=sqrt(real(VPA514(1,j))^2+imag(VPA514(1,j))^2);
end
plot(dt514,moduleVP)
hold on;
plot(dt514,real(VPA514(1,:)))
hold on;
plot(dt514,imag(VPA514(1,:)))
legend('module','partie reelle','partie imaginaire')
%plus le pas de temps dt est petit, plus la partie reelle est petit
%la module ne change pas avec dt

```

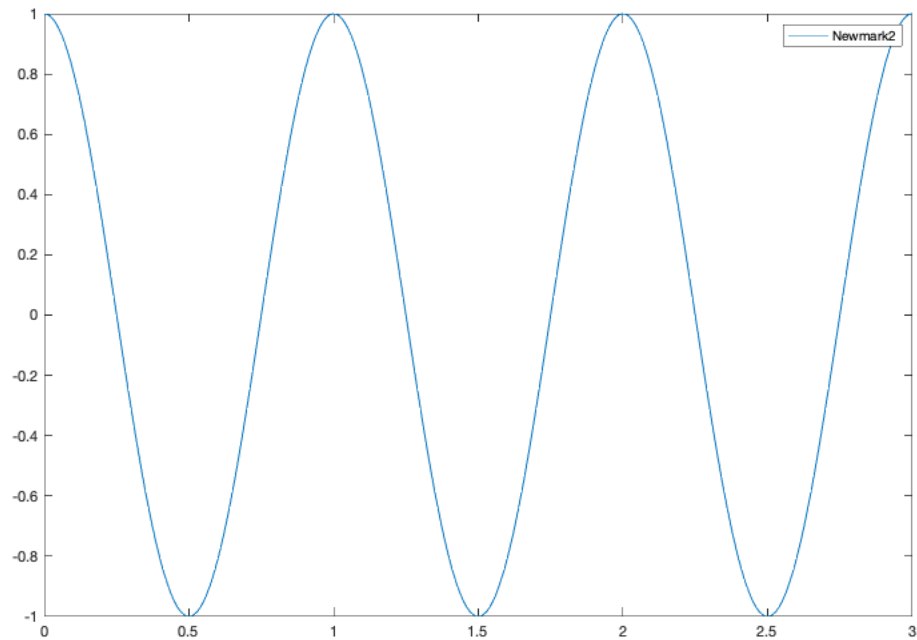


5.2.1

```

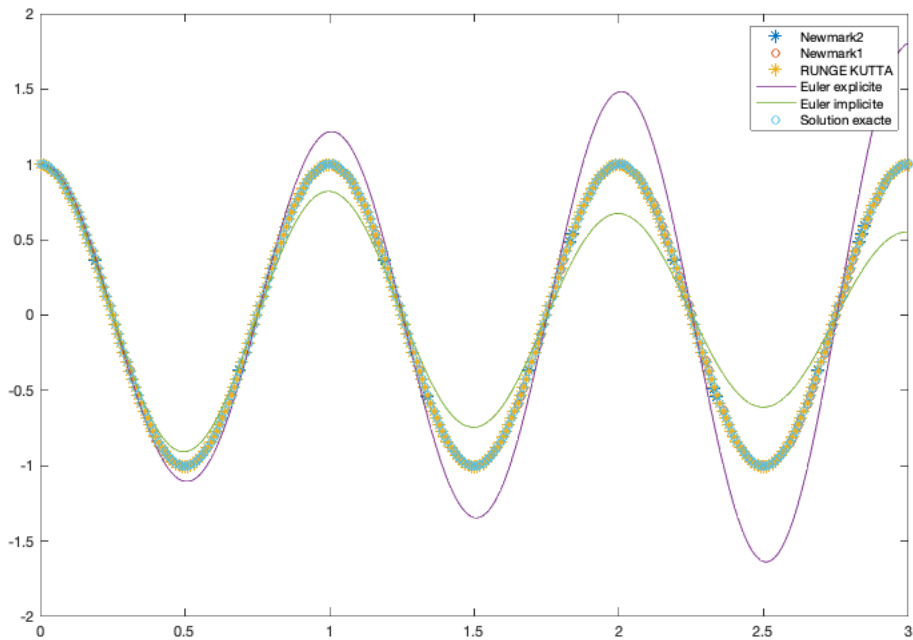
clf;
n=300;dt=T0/n;
t=0:dt:T0;
gama2=0.5;beta2=0;
Bnewm2=[1+beta2*dt*dt*w0*w0,0;gama2*dt*w0*w0,1];
Cnewm2=[1-(0.5-beta2)*dt*dt*w0*w0,dt; -(1-gama2)*dt*w0*w0,1];
% La matrice d'amplification
Anewm2=inv(Bnewm2)*Cnewm2;
Unewm2(:,1)=[q0;dq0];
for j=1:(length(t)-1)
    Unewm2(:,j+1)=Anewm2*Unewm2(:,j);
end
plot(t,Unewm2(1,:))
legend('Newmark2')

```



5.2.2

```
clf;
plot(t,Unewm2(1,:),'*')
hold on;
plot(t,Unewm1(1,:),'o')
hold on;
plot(t,Urk(1,:),'*')
hold on;
plot(t,U(1,:))
hold on;
plot(t,Uim(1,:))
hold on;
plot(t,q,'o')
legend('Newmark2','Newmark1','RUNGE KUTTA','Euler explicite','Euler
implicite','Solution exacte')
% On peut voir que les solutions a partie des schemas de NEWMARK et
RUNGE-KUTTA beaucoup plus pres avec la solution exacte
```



5.2.3

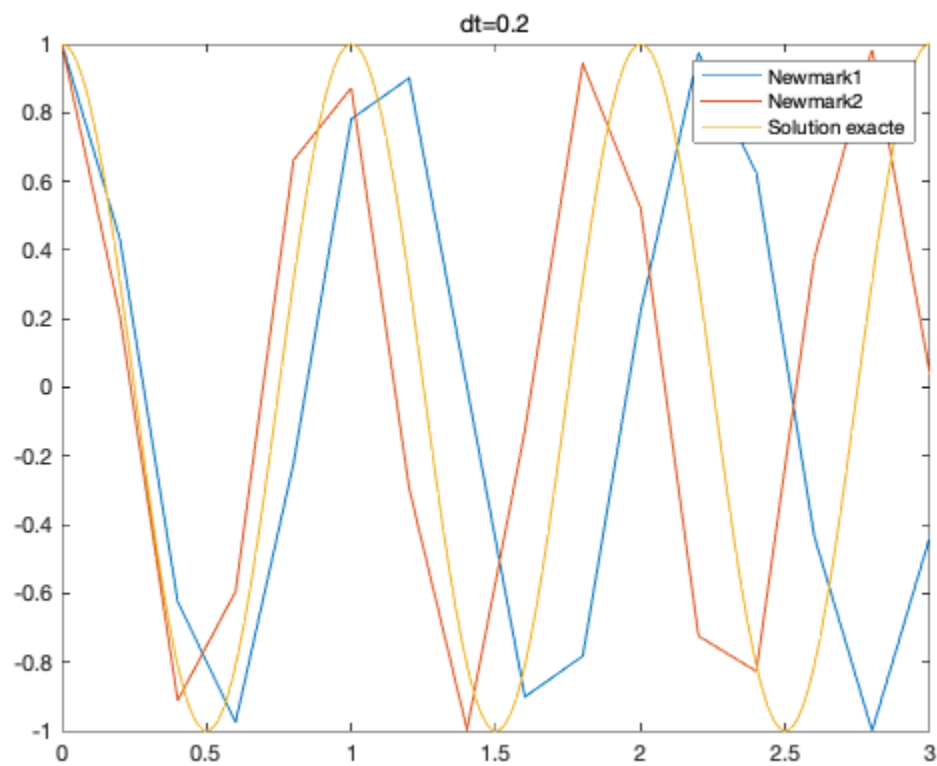
```
%dt=0.2
clf;
dt1=0.2;
t1=0:dt1:T0;
gamal=0.5;beta1=0.25;
Bnewm1=[1+beta1*dt1*dt1*w0*w0,0;gamal*dt1*w0*w0,1];
Cnewm1=[1-(0.5-beta1)*dt1*dt1*w0*w0,dt1; -(1-gamal)*dt1*w0*w0,1];
% La matrice d'amplification
Anewm1=inv(Bnewm1)*Cnewm1;
Unewm15231(:,1)=[q0;dq0];
for j=1:length(t1)
    Unewm15231(:,j+1)=Anewm1*Unewm15231(:,j);
end
Unewm15231(:,length(t1)+1)=[];
gama2=0.5;beta2=0;
Bnewm2=[1+beta2*dt1*dt1*w0*w0,0;gama2*dt1*w0*w0,1];
Cnewm2=[1-(0.5-beta2)*dt1*dt1*w0*w0,dt1; -(1-gama2)*dt1*w0*w0,1];
% La matrice d'amplification
Anewm2=inv(Bnewm2)*Cnewm2;
Unewm25231(:,1)=[q0;dq0];
for j=1:length(t1)
    Unewm25231(:,j+1)=Anewm2*Unewm25231(:,j);
end
Unewm25231(:,length(t1)+1)=[];
figure(1)
plot(t1,Unewm15231(1,:))
hold on;
```

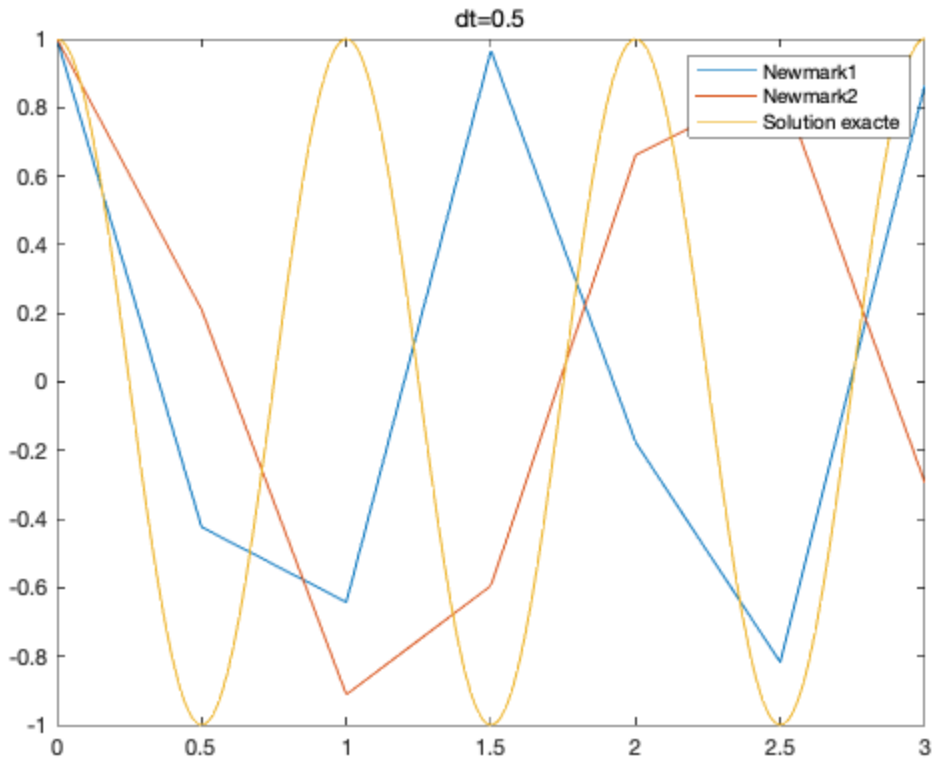
```

plot(t1,Unewm25231(1,:))
hold on;
plot(t,q)
legend('Newmark1','Newmark2','Solution exacte')
title('dt=0.2')

%dt=0.5
dt2=0.5;
t2=0:dt2:T0;
gamal=0.5;beta1=0.25;
Bnewm1=[1+beta1*dt2*dt2*w0*w0,0;gamal*dt2*w0*w0,1];
Cnewm1=[1-(0.5-beta1)*dt2*dt2*w0*w0,dt2; -(1-gamal)*dt2*w0*w0,1];
% La matrice d'amplification
Anewm1=inv(Bnewm1)*Cnewm1;
Unewm15232(:,1)=[q0;dq0];
for j=1:length(t2)
    Unewm15232(:,j+1)=Anewm1*Unewm15232(:,j);
end
Unewm15232(:,length(t2)+1)=[];
gama2=0.5;beta2=0;
Bnewm2=[1+beta2*dt2*dt2*w0*w0,0;gama2*dt*w0*w0,1];
Cnewm2=[1-(0.5-beta2)*dt2*dt2*w0*w0,dt2; -(1-gama2)*dt2*w0*w0,1];
% La matrice d'amplification
Unewm25232(:,1)=[q0;dq0];
for j=1:length(t2)
    Unewm25232(:,j+1)=Anewm2*Unewm25232(:,j);
end
Unewm25232(:,length(t2)+1)=[];
figure(2)
plot(t2,Unewm15232(1,:))
hold on;
plot(t2,Unewm25232(1,:))
hold on;
plot(t,q)
legend('Newmark1','Newmark2','Solution exacte')
title('dt=0.5')
%On peut voir que si le pas de temps est tres grand, les solutions ne
converge pas bien avec la solution exacte.

```





5.2.4

```

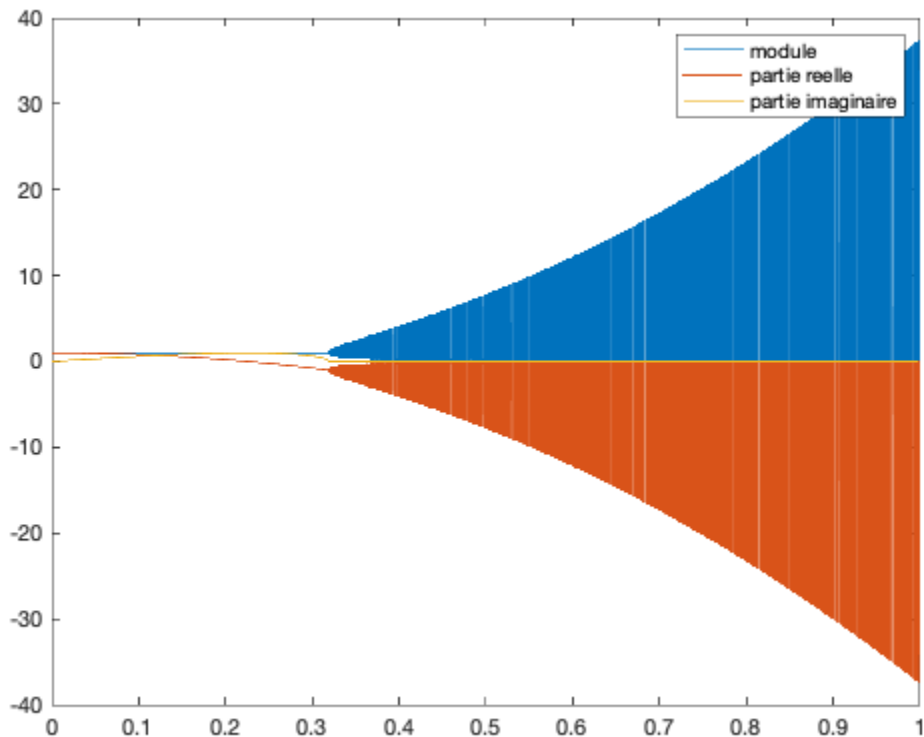
clf
close all
dt524=0:0.0001:1;
for j=1:length(dt524)

    Bnewm524{1,j}=[1+beta2*dt524(j)*dt524(j)*w0*w0,0;gama2*dt524(j)*w0*w0,1];
    Cnewm524{1,j}=[1-(0.5-beta2)*dt524(j)*dt524(j)*w0*w0,dt524(j); -
    (1-gama2)*dt524(j)*w0*w0,1];
    Anewm524{1,j}=inv(Bnewm524{1,j})*Cnewm524{1,j};
    VPA524(:,j)=eig(Anewm524{1,j});
    moduleVP2(j)=sqrt(real(VPA524(1,j))^2+imag(VPA524(1,j))^2);
end
plot(dt524,moduleVP2)
hold on;
plot(dt524,real(VPA524(1,:)))
hold on;
plot(dt524,imag(VPA524(1,:)))
legend('module','partie reelle','partie imaginaire')

syms dt5240 w0
Bnewm5240=[1+beta2*dt5240*dt5240*w0*w0,0;gama2*dt5240*w0*w0,1];
Cnewm5240=[1-(0.5-beta2)*dt5240*dt5240*w0*w0,dt5240; -(1-
gama2)*dt5240*w0*w0,1];

```

```
Anewm5240=inv(Bnewm5240)*Cnewm5240;  
VPA5240=eig(Anewm5240)  
  
% le pas de temps de critique est 1/pi  
% donc alpha=1  
  
VPA5240 =  
  
1 - (dt5240*w0*((dt5240*w0 - 2)*(dt5240*w0 + 2))^(1/2))/2 -  
(dt5240^2*w0^2)/2  
(dt5240*w0*((dt5240*w0 - 2)*(dt5240*w0 + 2))^(1/2))/2 -  
(dt5240^2*w0^2)/2 + 1
```



Published with MATLAB® R2019b